

Київський національний університет імені Тараса Шевченка

Факультет комп'ютерних наук та кібернетики

Кафедра інтелектуальних програмних систем

Моделювання складних систем

Звіт

з лабораторної роботи №1

студентки 3-го курсу

групи ІПС-31

Совгирі Анни Олегівни

Варіант №5

Київ

2025

Постановка задачі

Нехай є дискретна функція $\hat{y}(t_i)$, $i = 1, 2, \dots, N$, що подана у вигляді значень у i-й момент часу.

Потрібно визначити модель в класі функцій

$$y(t) = a_1 t^3 + a_2 t^2 + a_3 t + \sum_{i=4}^k a_i \sin(2\pi f_{i-3} t) + a_{k+1}$$

для спостережуваної дискретної функції $\hat{y}(t_i)$, $i = 1, 2, \dots, N$, (відповідний файл fk.txt), $t_{i+1} - t_i = \Delta t = 0.01$, інтервал спостереження $[0, T]$, $T = 5$.

Дискретне перетворення Фур'є для дискретної послідовності $x(i)$, $i = 0, 1, 2, \dots, N - 1$

$$c_x(k) = \frac{1}{N} \sum_{m=0}^{N-1} x(m) e^{-i2\pi km / N}.$$

Далі потрібно визначити за модулем дискретного перетворення Фур'є (далі – модуль ДПФ) частоти із найбільшим вкладом. Для цього визначаємо момент, у який модуль ДПФ приймає найбільше значення, тобто є локальним екстремумом. Позначимо такі моменти через k^* . Щоб знайти саме частоти із найбільшим вкладом, які позначимо через f^* , потрібно виконати множення $f^* = k^* f = k^* / T$.

Знайшовши частоти із найбільшим вкладом, можна приступати до безпосереднього визначення невідомих параметрів a_i , $i = k+1$. Для їх визначення застосовуємо метод найменших квадратів. Для цього записуємо функціонал похибки:

$$F(a_1, a_2, \dots, a_{k+1}) = \frac{1}{2} \sum_{j=0}^{N-1} (a_1 t_j^3 + a_2 t_j^2 + a_3 t_j + \sum_{i=4}^k a_i \sin(2\pi f_{i-3} t_j) + a_{k+1} - \hat{y}(t_j))^2$$

Параметри a_i , $i = 1, 2, \dots, k+1$ шукаємо з умови:

$$F(a_1, a_2, \dots, a_{k+1}) \rightarrow \min_{a_1, a_2, \dots, a_{k+1}}$$

Для цього записуємо систему рівнянь:

$$\frac{\partial F(a_1, a_2, \dots, a_{k+1})}{\partial a_j} = 0$$

Ця система є системою лінійних алгебраїчних рівнянь. Розв'язавши цю систему одним з відомих методів, знаходимо a_i , $i = 1, 2, \dots, k+1$.

Хід роботи

Програмна реалізація виконана мовою MATLAB.

Метою даної лабораторної роботи є побудова математичної моделі для апроксимації спостережуваної дискретної функції. Модель шукається у класі функцій, що є сумою полінома третього ступеня та синусоїdalьних компонент. Для визначення частот синусоїд використовується дискретне перетворення Фур'є (ДПФ), а для знаходження невідомих коефіцієнтів моделі — метод найменших квадратів (МНК).

1. Завантаження та візуалізація вихідних даних

На першому етапі було ініціалізовано початкові параметри: крок дискретизації $dt=0.01$, інтервал спостереження $T=5$ секунд та відповідний вектор часу t . Далі з файлу $f5.txt$ було завантажено масив спостережуваних значень $y(t)$.

%% 1. ІНІЦІАЛІЗАЦІЯ ПАРАМЕТРІВ

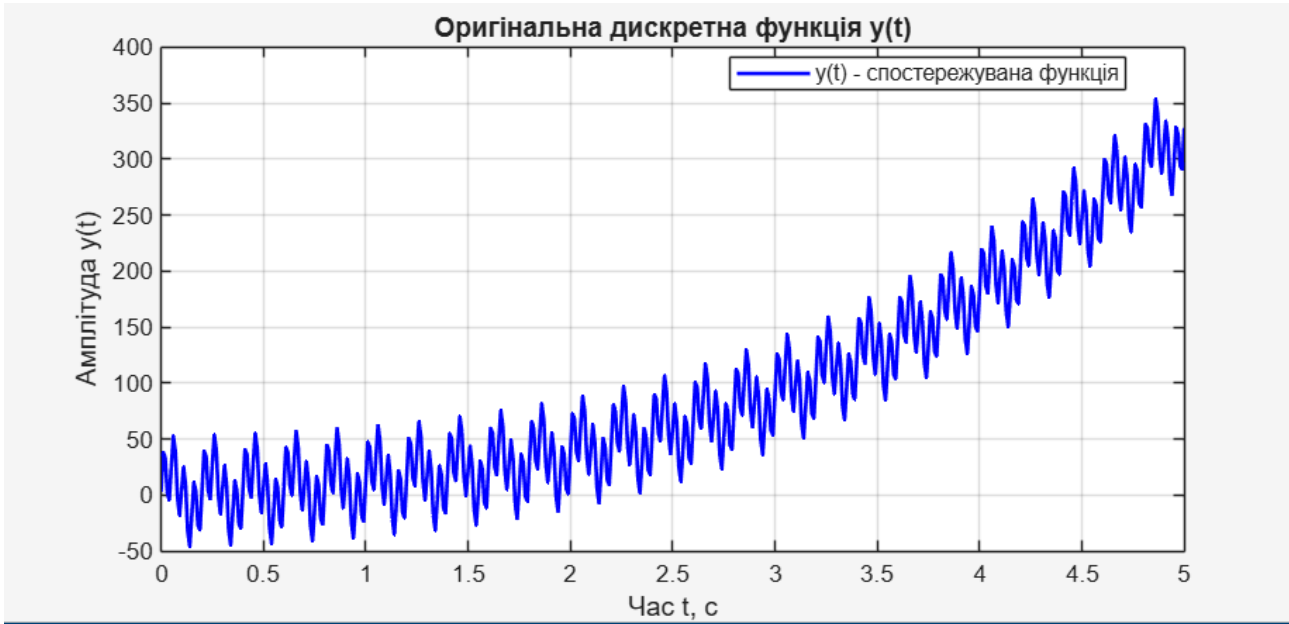
```
% Крок дискретизації та інтервал спостереження
dt = 0.01; % Крок дискретизації
T = 5; % Інтервал спостереження
t = 0:dt:T; % Масив часових точок
N = length(t); % Кількість точок
```

%% 2. ЗАВАНТАЖЕННЯ ЕКСПЕРИМЕНТАЛЬНИХ ДАНИХ

```
y = dlmread('f5.txt', '');
```

Для візуального аналізу поведінки сигналу було побудовано графік вихідної функції.

```
%% 3. ВІЗУАЛІЗАЦІЯ ОРИГІНАЛЬНОЇ ФУНКЦІЇ
figure;
plot(t, y, 'b-', 'LineWidth', 1.5, 'DisplayName', 'y(t) - спостережувана функція');
grid on;
title('Оригінальна дискретна функція y(t)');
xlabel('Час t, с');
ylabel('Амплітуда y(t)');
legend('Location', 'best');
```



Маємо поліноміальну функцію із частотними вкладеннями у вигляді коливань.

2. Частотний аналіз сигналу

Для ідентифікації основних гармонійних складових сигналу було застосовано дискретне перетворення Фур'є. З метою перевірки коректності обчислень, ДПФ було виконано двома способами:

1. За допомогою вбудованої функції MATLAB fft .
2. Шляхом програмної реалізації алгоритму ДПФ вручну.

```

%% 4. ДИСКРЕТНЕ ПЕРЕТВОРЕННЯ ФУР'Є (вбудована функція)
fft_y_raw = fft(y);           % БЕЗ нормалізації (для пошуку піків)
fft_y = fft_y_raw / N;        % З нормалізацією (для відображення)

% Побудова амплітудного спектру (FFT)
figure;
freq_axis = (0:N-1) / T;      % Частотна вісь в Гц
plot(freq_axis, abs(fft_y), 'b-', 'LineWidth', 1.2);
grid on;
title('Амплітудний спектр |c_y(f)| (вбудована функція FFT)');
xlabel('Частота f, Гц');
ylabel('Амплітуда |c_y(f)|');

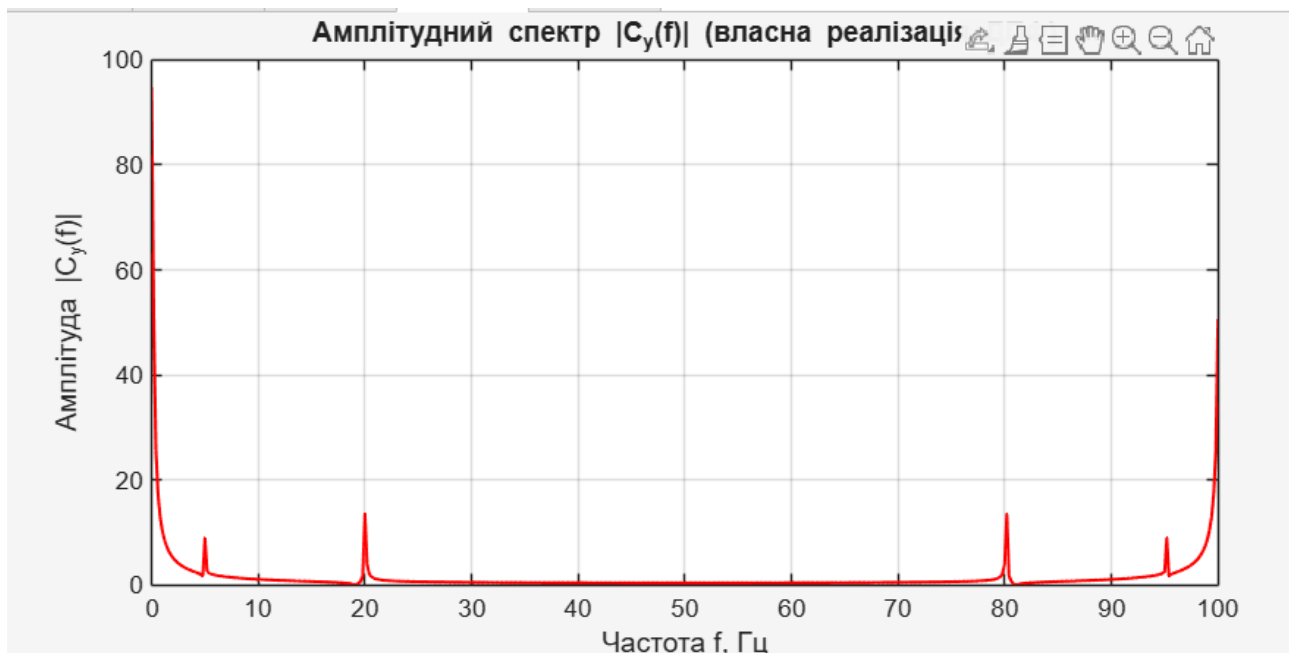
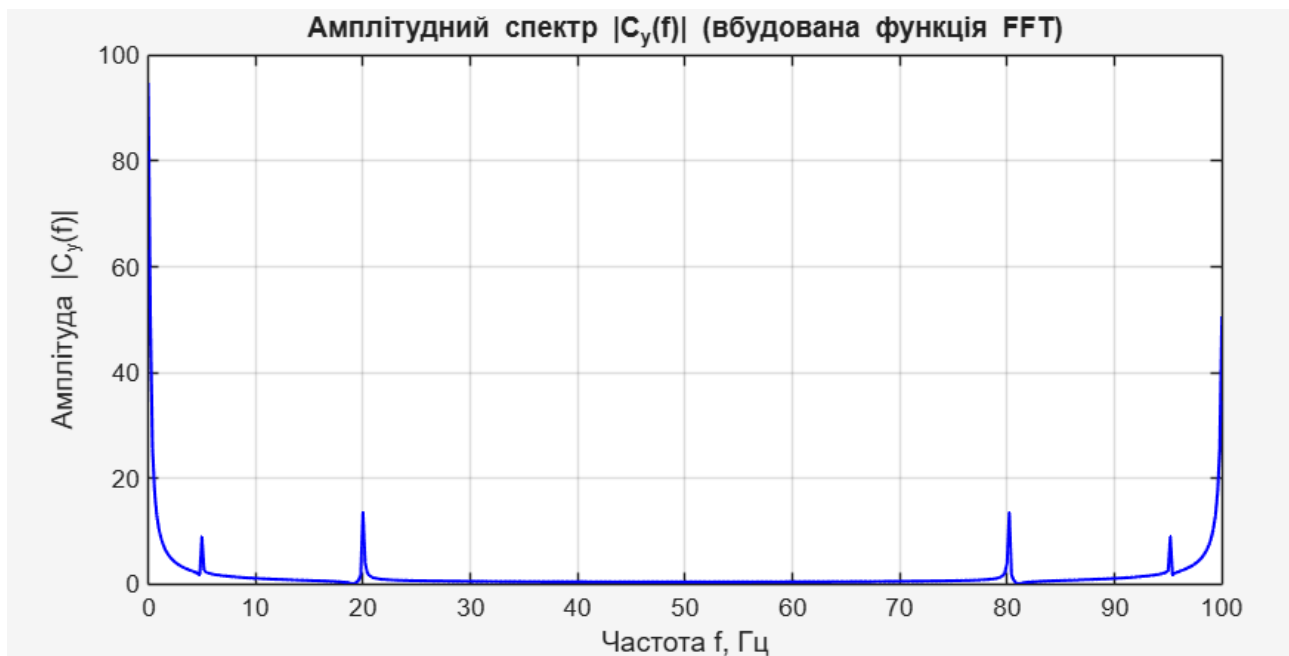
```

```

%% 5. ВЛАСНА РЕАЛІЗАЦІЯ ДИСКРЕТНОГО ПЕРЕТВОРЕННЯ ФУР'Є
fft_manual = zeros(1, N);
for k = 1:N
    for m = 1:N
        % Формула ДПФ:  $C_y(k) = (1/N) * \sum(y(m) * \exp(-i*2\pi*k*m/N))$ 
        fft_manual(k) = fft_manual(k) + y(m) * exp(-1i * 2 * pi * (k - 1) * (m - 1));
    end
end
fft_manual = fft_manual / N;      % НОРМАЛІЗАЦІЯ результату

% Побудова амплітудного спектру (власна реалізація)
figure;
plot(freq_axis, abs(fft_manual), 'r-', 'LineWidth', 1.2);
grid on;
title('Амплітудний спектр  $|C_y(f)|$  (власна реалізація ДПФ)');
xlabel('Частота f, Гц');
ylabel('Амплітуда  $|C_y(f)|$ ');

```



В обох випадках результат було нормалізовано діленням на кількість точок N для отримання коректних амплітуд. Графіки амплітудних спектрів, отримані обома методами, виявилися ідентичними, що підтвердило правильність реалізації.

3. Визначення значущих частот

Оскільки спектр ДПФ є симетричним, для подальшого аналізу використовувалась лише його перша половина. На цьому спектрі за допомогою функції `findpeaks` було здійснено пошук локальних максимумів ("піків"), які відповідають частотам, що роблять найбільший внесок у вихідний сигнал.

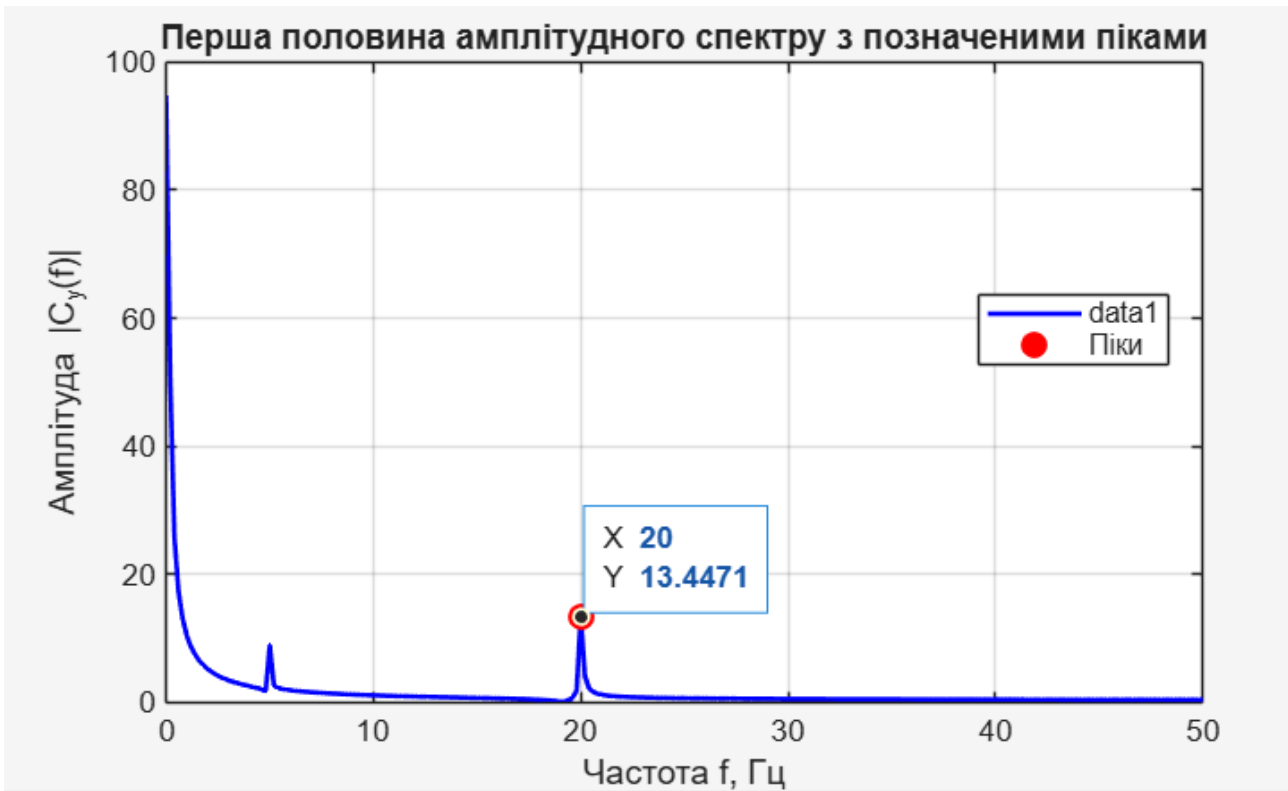
Індекси знайдених піків були перераховані у фізичні частоти (в Гц) для подальшого використання в моделі.

```
%% 6. АНАЛІЗ ЧАСТОТНОГО СПЕКТРУ
% Визначення частотних компонент
df = 1 / T;                                     % Частотне розділення
f = 0:df:(N-1)*df;                            % Частотна вісь
fft_half_raw = abs(fft_y_raw(1:round(N/2)));    % Перша половина БЕЗ нормалізації
fft_half_norm = abs(fft_y(1:round(N/2)));        % Перша половина З нормалізацією

% Пошук піків (екстремумів) у спектрі
[maxima, locs] = findpeaks(fft_half_raw, 'MinPeakHeight', 10);

% Виведення спектру з позначеними піками (показуємо нормалізований)
figure;
plot(f(1:round(N/2)), fft_half_norm, 'b-', 'LineWidth', 1.5);
grid on;
hold on;
% Для графіку використовуємо нормалізовані значення
plot(f(locs), maxima/N, 'ro', 'MarkerSize', 8, 'MarkerFaceColor', 'r', 'DisplayName', 'Піки');
hold off;
title('Перша половина амплітудного спектру з позначеними піками');
xlabel('Частота f, Гц');
ylabel('Амплітуда |C_y(f)|');
legend('Location', 'best');

% Виведення знайдених частот у консоль
fprintf('\n=====\\n');
fprintf('ЗНАЙДЕНІ ДОМІНУЮЧІ ЧАСТОТИ\\n');
fprintf('=====\\n');
fprintf('Кількість піків: %d\\n\\n', length(locs));
for i = 1:length(locs)
    fprintf('Пік %d: f = %.2f Гц, амплітуда = %.4f\\n', i, f(locs(i)), maxima(i)/N);
end
fprintf('=====\\n\\n');
```



На графіку видно значущі локальні максимуми («піки»), що відповідають основним гармонійним коливанням. Ці піки розташовані на частотах:

- $f_1 \approx 20$ Гц
- $f_2 \approx 5$ Гц
-

```
=====
ЗНАЙДЕНІ ДОМІНУЮЧІ ЧАСТОТИ
=====
▶ Кількість піків: 2

Пік 1: f = 5.00 Гц, амплітуда = 8.8747
Пік 2: f = 20.00 Гц, амплітуда = 13.4471
=====
```

4. Побудова моделі методом найменших квадратів

Для знаходження невідомих коефіцієнтів апроксимуючої функції було застосовано метод найменших квадратів. Модель шукалася у вигляді:

$$y(t) = a_1 t^3 + a_2 t^2 + a_3 t + \sum_{i=4}^k a_i \sin(2\pi f_{i-3} t) + a_{k+1}$$

Для цього було сформовано матрицю системи А, стовпцями якої є вектори базових функцій ($t^3, t^2, t, \sin(2\pi f_{j-3}t), 1$), та вектор спостережень у. Система

лінійних алгебраїчних рівнянь (СЛАР) $A \cdot a = y$ була розв'язана відносно вектора коефіцієнтів a за допомогою оператора \backslash в MATLAB.

```
% 7. ФОРМУВАННЯ СИСТЕМИ ДЛЯ МЕТОДУ НАЙМЕНШИХ КВАДРАТИВ
% Побудова матриці синусоїdalьних компонентів на знайдених частотах
sinf_components = zeros(length(locs), N);
for i = 1:length(locs)
    sinf_components(i, :) = sin(2 * pi * f(locs(i)) * t);
end

% Формування матриці системи A = [t^3, t^2, t, sin(2πf_1t), ..., sin(2πf_nt), 1]
A = [t.^3; t.^2; t; sinf_components; ones(1, N)]';

% Розв'язання системи A*coeff = y методом найменших квадратів
coeff = A \ y';
```

%% 8. ПОБУДОВА АПРОКСИМУЮЧОЇ МОДЕЛІ

```
% Обчислення апроксимованих значень
y_model = coeff(1) * t.^3 + coeff(2) * t.^2 + coeff(3) * t;

% Додавання синусоїdalьних компонент
for i = 4:length(coeff)-1
    y_model = y_model + coeff(i) * sin(2 * pi * f(locs(i-3)) * t);
end
y_model = y_model + coeff(end);      % Додавання вільного члена
```

%% 9. ВИВЕДЕННЯ РЕЗУЛЬТАТІВ У КОНСОЛЬ

```
% Виведення апроксимуючої функції у символьному вигляді
disp('=====');
disp('Апроксимуюча функція:');
disp('=====');
fprintf('y(t) = %.4f·t^3 + %.4f·t^2 + %.4f·t ', coeff(1), coeff(2), coeff(3));
for i = 4:length(coeff)-1
    fprintf('+ %.4f·sin(2π·%.2f·t) ', coeff(i), f(locs(i-3)));
end
fprintf('+ %.4f\n', coeff(end));
disp('=====');
```

```
=====
АПРОКСИМУЮЧА ФУНКЦІЯ
=====
y(t) = 2.0000·t^3 + 2.0000·t^2 + 5.0000·t + 22.0000·sin(2π·5.00·t) + 30.0000·sin(2π·20.00·t) + 3.0000
=====
```

=====
СИСТЕМА РІВНЯНЬ (метод найменших квадратів)
=====
Розмірність матриці A: 501 × 6
Розмірність вектора y: 501 × 1

Структура базисних функцій:

$$\begin{aligned}\phi_1(t) &= t^3 \\ \phi_2(t) &= t^2 \\ \phi_3(t) &= t \\ \phi_4(t) &= \sin(2\pi \cdot 5.00 \cdot t) \\ \phi_5(t) &= \sin(2\pi \cdot 20.00 \cdot t) \\ \phi_6(t) &= 1 \text{ (вільний член)}\end{aligned}$$

Система: $A \cdot a = y$
де $a = [a_1, a_2, a_3, a_4, a_5, a_6]^T$

=====
ЗНАЙДЕНІ КОЕФІЦІЄНТИ

$$\begin{aligned}a_1 \text{ (коef. при } t^3): & +2.000001 \\ a_2 \text{ (коef. при } t^2): & +1.999993 \\ a_3 \text{ (коef. при } t): & +5.000013 \\ a_4 \text{ (коef. при } \sin(2\pi \cdot 5.00 \cdot t)): & +22.000003 \\ a_5 \text{ (коef. при } \sin(2\pi \cdot 20.00 \cdot t)): & +30.000000 \\ a_6 \text{ (вільний член):} & +2.999993\end{aligned}$$

5. Аналіз результатів апроксимації

Знайдені коефіцієнти а були підставлені у рівняння моделі для побудови апроксимуючої функції $y^*(t)$. Також знаходимо квадратичну похибку функції:



=====

ОЦІНКА ТОЧНОСТІ МОДЕЛІ

=====

Сумарна квадратична похибка (SSE): $4.556110e-07$

Середньоквадратична похибка (MSE): $9.094032e-10$

Відносна похибка: 0.0000%

Додатково: порівняння двох графіків:



Код повністю:

```
%% =====
% ЛАБОРАТОРНА РОБОТА №1: Апроксимація дискретної функції
% Моделювання складних систем
%% =====

%% 1. ІНІЦІАЛІЗАЦІЯ ПАРАМЕТРІВ
% Крок дискретизації та інтервал спостереження
dt = 0.01; % Крок дискретизації
T = 5; % Інтервал спостереження
t = 0:dt:T; % Масив часових точок
N = length(t); % Кількість точок

%% 2. ЗАВАНТАЖЕННЯ ЕКСПЕРИМЕНТАЛЬНИХ ДАНИХ
y = dlmread('f5.txt', ' ');

%% 3. ВІЗУАЛІЗАЦІЯ ОРИГІНАЛЬНОЇ ФУНКЦІЇ
figure;
plot(t, y, 'b-', 'LineWidth', 1.5, 'DisplayName', 'y(t) - спостережувана функція');
grid on;
title('Оригінальна дискретна функція y(t)');
xlabel('Час t, с');
ylabel('Амплітуда y(t)');
legend('Location', 'best');

%% 4. ДИСКРЕТНЕ ПЕРЕТВОРЕННЯ ФУР'Є (вбудована функція)
fft_y_raw = fft(y); % БЕЗ нормалізації (для пошуку піків)
fft_y = fft_y_raw / N; % З нормалізацією (для відображення)

% Побудова амплітудного спектру (FFT)
figure;
freq_axis = (0:N-1) / T; % Частотна вісь в Гц
plot(freq_axis, abs(fft_y), 'b-', 'LineWidth', 1.2);
grid on;
title('Амплітудний спектр |C_y(f)| (вбудована функція FFT)');
xlabel('Частота f, Гц');
ylabel('Амплітуда |C_y(f)|');

%% 5. ВЛАСНА РЕАЛІЗАЦІЯ ДИСКРЕТНОГО ПЕРЕТВОРЕННЯ ФУР'Є
fft_manual = zeros(1, N);
for k = 1:N
    for m = 1:N
        % Формула ДПФ: C_y(k) = (1/N) * sum(y(m) * exp(-i*2π*k*m/N))
        fft_manual(k) = fft_manual(k) + y(m) * exp(-1i * 2 * pi * (k - 1) * (m - 1) / N);
    end
end
fft_manual = fft_manual / N; % НОРМАЛІЗАЦІЯ результату

% Побудова амплітудного спектру (власна реалізація)
figure;
plot(freq_axis, abs(fft_manual), 'r-', 'LineWidth', 1.2);
grid on;
title('Амплітудний спектр |C_y(f)| (власна реалізація ДПФ)');
xlabel('Частота f, Гц');
ylabel('Амплітуда |C_y(f)|');

%% 6. АНАЛІЗ ЧАСТОТНОГО СПЕКТРУ
% Визначення частотних компонент
```

```

df = 1 / T;                                % Частотне розділення
f = 0:df:(N-1)*df;                         % Частотна вісь
fft_half_raw = abs(fft_y_raw(1:round(N/2))); % Перша половина БЕЗ нормалізації
fft_half_norm = abs(fft_y(1:round(N/2)));    % Перша половина З нормалізацією

% Пошук піків (екстремумів) у спектрі
[maxima, locs] = findpeaks(fft_half_raw, 'MinPeakHeight', 10);

% Виведення спектру з позначеними піками (показуємо нормалізований)
figure;
plot(f(1:round(N/2)), fft_half_norm, 'b-', 'LineWidth', 1.5);
grid on;
hold on;
% Для графіку використовуємо нормалізовані значення
plot(locs, maxima/N, 'ro', 'MarkerSize', 8, 'MarkerFaceColor', 'r', 'DisplayName',
'Піки');
hold off;
title('Перша половина амплітудного спектру з позначеними піками');
xlabel('Частота f, Гц');
ylabel('Амплітуда |C_y(f)|');
legend('Location', 'best');

% Виведення знайдених частот у консоль
fprintf('\n=====\\n');
fprintf('ЗНАЙДЕНИ ДОМІНУЮЧІ ЧАСТОТИ\\n');
fprintf('=====\\n');
fprintf('Кількість піків: %d\\n\\n', length(locs));
for i = 1:length(locs)
    fprintf('Пік %d: f = %.2f Гц, амплітуда = %.4f\\n', i, f(locs(i)), maxima(i)/N);
end
fprintf('=====\\n\\n');

%% 7. ФОРМУВАННЯ СИСТЕМИ ДЛЯ МЕТОДУ НАЙМЕНШИХ КВАДРАТИВ
% Побудова матриці синусоїdalьних компонентів на знайдених частотах
sinf_components = zeros(length(locs), N);
for i = 1:length(locs)
    sinf_components(i, :) = sin(2 * pi * f(locs(i)) * t);
end

% Формування матриці системи A = [t^3, t^2, t, sin(2πf_1t), ..., sin(2πf_nt), 1]
A = [t.^3; t.^2; t; sinf_components; ones(1, N)'];

% Виведення структури системи рівнянь
fprintf('=====\\n');
fprintf('СИСТЕМА РІВНЯНЬ (метод найменших квадратів)\\n');
fprintf('=====\\n');
fprintf('Розмірність матриці A: %d x %d\\n', size(A, 1), size(A, 2));
fprintf('Розмірність вектора y: %d x 1\\n\\n', length(y));
fprintf('Структура базисних функцій:\\n');
fprintf('  φ₁(t) = t³\\n');
fprintf('  φ₂(t) = t²\\n');
fprintf('  φ₃(t) = t\\n');
for i = 1:length(locs)
    fprintf('  φ%d(t) = sin(2π%.2f·t)\\n', 3+i, f(locs(i)));
end
fprintf('  φ%d(t) = 1 (вільний член)\\n\\n', 3+length(locs)+1);
fprintf('Система: A·a = y\\n');
fprintf('де a = [a₁, a₂, a₃]');
for i = 1:length(locs)
    fprintf(', a%d', 3+i);
end
fprintf(', a%d]ᵀ\\n', 3+length(locs)+1);
fprintf('=====\\n\\n');

```

```

% Розв'язання системи A*coeff = у методом найменших квадратів
coeff = A \ y';

% Виведення знайдених коефіцієнтів
fprintf('=====\\n');
fprintf('ЗНАЙДЕНІ КОЕФІЦІЄНТИ\\n');
fprintf('=====\\n');
fprintf('a1 (коеф. при t3): %.6f\\n', coeff(1));
fprintf('a2 (коеф. при t2): %.6f\\n', coeff(2));
fprintf('a3 (коеф. при t): %.6f\\n', coeff(3));
for i = 1:length(locs)
    fprintf('a%d (коеф. при sin(2π·%.2f·t)): %.6f\\n', 3+i, f(locs(i)), coeff(3+i));
end
fprintf('a%d (вільний член): %.6f\\n', 3+length(locs)+1, coeff(end));
fprintf('=====\\n\\n');

%% 8. ПОБУДОВА АПРОКСИМУЮЧОЇ МОДЕЛІ
% Обчислення апроксимованих значень
y_model = coeff(1) * t.^3 + coeff(2) * t.^2 + coeff(3) * t;

% Додавання синусоїдальних компонент
for i = 4:length(coeff)-1
    y_model = y_model + coeff(i) * sin(2 * pi * f(locs(i-3)) * t);
end
y_model = y_model + coeff(end); % Додавання вільного члена

%% 9. ВИВЕДЕННЯ АПРОКСИМУЮЧОЇ ФУНКЦІЇ
% Виведення апроксимуючої функції у символному вигляді
fprintf('=====\\n');
fprintf('АПРОКСИМУЮЧА ФУНКЦІЯ\\n');
fprintf('=====\\n');
fprintf('y(t) = %.4f·t3 + %.4f·t2 + %.4f·t', coeff(1), coeff(2), coeff(3));
for i = 4:length(coeff)-1
    fprintf(' + %.4f·sin(2π·%.2f·t)', coeff(i), f(locs(i-3)));
end
fprintf(' + %.4f\\n', coeff(end));
fprintf('=====\\n\\n');

%% 10. ВІЗУАЛІЗАЦІЯ АПРОКСИМУЮЧОЇ МОДЕЛІ
figure;
plot(t, y_model, 'r--', 'LineWidth', 2, 'DisplayName', 'ŷ(t) - апроксимація');
grid on;
title('Апроксимуюча функція ŷ(t)');
xlabel('Час t, с');
ylabel('Амплітуда ŷ(t)');
legend('Location', 'best');

%% 11. ОЦІНКА ЯКОСТІ АПРОКСИМАЦІЇ
% Квадратична похибка
error_squared = sum((y_model - y).^2);

% Середньоквадратична похибка (MSE)
mse = error_squared / N;

% Відносна похибка
relative_error = sqrt(error_squared / sum(y.^2)) * 100;

fprintf('=====\\n');
fprintf('ОЦІНКА ТОЧНОСТІ МОДЕЛІ\\n');
fprintf('=====\\n');
fprintf('Сумарна квадратична похибка (SSE): %.6e\\n', error_squared);
fprintf('Середньоквадратична похибка (MSE): %.6e\\n', mse);
fprintf('Відносна похибка: %.4f%%\\n', relative_error);
fprintf('=====\\n\\n');

```

```
%% 12. ПОРІВНЯННЯ ОРИГІНАЛУ ТА МОДЕЛІ
% Графік порівняння оригіналу та моделі
figure;
plot(t, y, 'b-', 'LineWidth', 1.5, 'DisplayName', 'Оригінальна функція y(t)');
hold on;
plot(t, y_model, 'r--', 'LineWidth', 2, 'DisplayName', 'Аproxимуюча модель  $\hat{y}(t)$ ');
hold off;
grid on;
title('Порівняння оригінальної функції та аproxимуючої моделі');
xlabel('Час t, с');
ylabel('Амплітуда');
legend('Location', 'best');
```